УЛК 546.06+544.653.3

СТРУКТУРА И ЭЛЕКТРОХИМИЧЕСКИЕ СВОЙСТВА КАТОДНЫХ МАТЕРИАЛОВ ($Na_3V_{2-x}Sc_x(PO_4)_3$) ДЛЯ НАТРИЙ-ИОННЫХ АККУМУЛЯТОРОВ

© 2023 г. Т. И. Перфильева^{а, *}, А. М. Алексеева^а, О. А. Дрожжин^а, Е. В. Антипов^{а, b}

^а Московский государственный университет им. М.В. Ломоносова, Химический факультет, Москва, Россия ^b Сколковский институт науки и технологии, Большой бул., 30, стр. 1, Москва, Россия

*e-mail: tatjana.perf@yandex.ru
Поступила в редакцию 03.08.2022 г.
После доработки 22.11.2022 г.
Принята к публикации 28.11.2022 г.

Твердые растворы $Na_3V_{2-x}Sc_x(PO_4)_3$ (0 < x < 2) синтезированы золь—гель-методом с дальнейшим отжигом в инертной атмосфере. Методом порошковой рентгеновской дифракции проведено структурное исследование соединений $Na_3V_{2-x}Sc_x(PO_4)_3$ (x = 0.5, 1.2). По мере увеличения степени замещения наблюдается закономерный рост параметров и объема элементарной ячейки с сохранением структурного типа NASICON. Электрохимические свойства материалов $Na_3V_{2-x}Sc_x(PO_4)_3/C$ в качестве катодов для натрий-ионных аккумуляторов исследованы в натриевых полуячейках в различных диапазонах потенциалов: 2.5—3.8 B, 2.5—4.5 B и 1.0—4.5 В отн. Na/Na^+ . На зарядных кривых для всех материалов присутствуют два плато: при \approx 3.5 и \approx 4 В отн. Na/Na^+ , соответствующие последовательным переходам V^{3+}/V^{4+} и V^{4+}/V^{5+} , однако только для материала $Na_3V_{1.5}Sc_{0.5}(PO_4)_3/C$ высоковольтное плато является обратимым при последующем разряде. Это делает возможным стабильное обратимое циклирование этого материала в интервале потенциалов 1.0—4.5 В отн. Na/Na^+ с емкостью более 170 мА ч г $^{-1}$, что соответствует (де)интеркаляции $3Na^+$ на формульную единицу.

Ключевые слова: натрий-ионный аккумулятор, катодные материалы, NASICON

DOI: 10.31857/S0424857023070095, EDN: TXUCTA

введение

Экономическая, технологическая и экологическая ситуация в мире повышает спрос на компактные и эффективные системы хранения энергии и, прежде всего, на литий-ионные аккумуляторы (ЛИА), которые используются не только в мобильных системах, но и в крупномасштабных объектах сетевой генерации электроэнергии [1]. В условиях сокращающихся природных запасов лития все более актуальным становится разработка альтернативных систем, способных заменить ЛИА, особенно в сетевых устройствах для накопления энергии. С этой точки зрения наибольший интерес представляют натрий-ионные аккумуляторы (НИА) [2]. Натрий характеризуется широкой природной распространенностью, географической доступностью и низкой стоимостью. Однако для практического применения необходимо повысить удельную энергоемкость и стабильность НИА при многократном циклировании [3].

Наибольшего прогресса в увеличении удельной энергоемкости НИА можно добиться путем

создания катодных материалов с высокой удельной емкостью и высоким рабочим диапазоном потенциалов. Одним из перспективных классов катодных материалов НИА являются сложные фосфаты натрия и 3*d*-металлов со структурой NASICON (NA Super Ionic CONductor) [4, 5]. B структуре типа NASICON октаэдры MO_6 (M-3dметалл) и тетраэдры РО₄ формируют прочный каркас, пронизанный трехмерной системой просторных каналов, в которых находятся частично заселенные позиции натрия. Структурные особенности обеспечивают циклическую стабильность и высокую ионную проводимость материалов со структурой NASICON [6]. Кроме того, подобные материалы стабильны в широком температурном диапазоне и безопасны при эксплуатации [7]. Высокие рабочие характеристики были достигнуты для катодного материала на основе сложного фосфата натрия и ванадия(III) - $Na_3V_2(PO_4)_3$ [8]. Обратимое извлечение/внедрение двух Na^+ на формульную единицу (ф.е.) $Na_3V_2(PO_4)_3$ обусловлено редокс-переходом

 V^{3+}/V^{4+} при pprox 3.4 В отн. Na/Na⁺ и протекает по двухфазному механизму в соответствии с реакцией:

$$Na_3V_2^{+3}(PO_4)_3 \leftrightarrow NaV_2^{+4}(PO_4)_3 + 2Na^+ + 2e^-.$$
 (1)

Обратимая емкость по реакции (1) достигает $110\,$ мА ч г $^{-1}$ (при теоретической емкости $117.6\,$ мА ч г $^{-1}$), а энергоемкость — около $370\,$ Вт кг $^{-1}$ [9, 10]. Интересной особенностью $Na_3V_2(PO_4)_3$ является возможность интеркаляции дополнительного, третьего, Na^+ в области низких потенциалов ($1.6\,$ В отн. Na/Na^+), за счет восстановления ванадия до V^{2+} [11]. Обратимая емкость $Na_3V_2(PO_4)_3$ в диапазоне $1.0-3.0\,$ В отн. Na/Na^+ составляет $\sim 60\,$ мА ч г $^{-1}$ [11]. Это позволяет рассматривать возможность применения материала на основе $Na_3V_2(PO_4)_3$ не только в качестве катода НИА, но и в качестве анола.

В структуре типа NASICON атомы натрия занимают две кристаллографически независимые позиции — Na1 (6b (1/3, 2/3, 0.1667)) и Na2 (18e (0.633, 0, 1/4)). Атом в позиции Na1 находится в координационном окружении в виде тригональной антипризмы из шести атомов кислорода, а позиция Na2 расположена в центре сложного восьмивершинника. В процессе (де)интеркаляции участвуют ионы натрия из позиции Na2, тогда как заселенность позиции Na1, имеющей более высокие диффузионные барьеры, не претерпевает существенных изменений [12]. Так, именно в этой позиции локализованы оставшиеся катионы натрия в структуре заряженной фазы $NaV_2^{+4}(PO_4)_3$. Несмотря на то, что теоретически можно предположить окисление ванадия до степени окисления ($\mathbf{c.o.}$) +5 при извлечении еще одного натрия из $NaV_2^{+4}(PO_4)_3$, дальнейшей деинтеркаляции натрия при повышении потенциала не происходит.

Модификация электрохимических свойств $Na_3V_2(PO_4)_3$, в том числе направленная на повышение емкости и рабочего потенциала за счет окисления ванадия до V^{5+} , возможна путем замещения ванадия на различные двух-, трех- и четырехзарядные катионы [13-17]. Каркас в структуре $Na_3V_2(PO_4)_3$ весьма лабилен, что позволяет заполнять позицию ванадия катионам с различными радиусами и степенями окисления. Так, известны примеры изо- и гетеровалентного замещения ванадия атомами переходных (Fe, Mn, Cr и др.) и непереходных (Al, Mg, Ga и др.) металлов [12–16]. В большинстве работ для замещенных соединений действительно наблюдается появление на зарядной кривой в первом цикле дополнительного плато при потенциале ~4 В отн. Na/Na⁺. Сочетание электрохимических и спектроскопических методов исследования позволяет соотнести такое высоковольтное плато с редокс-переходом V⁴⁺/V⁵⁺ [15, 18]. Тем не менее, суммарные разрядные емкости замещенных соединений, как правило, ниже, чем незамещенных, а высоковольтное плато является необратимым (или обратимым только при сильном переразряде) и/или вызывает быструю деградацию емкости при многократном циклировании [17—22]. Предполагается, что необратимость высоковольтного плато связана с ограниченной скоростью диффузии натрия из позиции Na1 из-за локального сужения каналов, соответствующих диффузионному пути [17]. Кроме того, окисление ванадия до V⁵⁺ может приводить к необратимым изменениям его локального окружения и, как следствие, к дестабилизации полианионного каркаса.

Ранее в работе [23] впервые был опубликован синтез и электрохимическое исследование фосфата $Na_3VSc(PO_4)_3$, полученного в результате замещения половины ванадия на скандий. Замещение ванадия на электрохимически неактивный скандий с бо́льшим ионным радиусом ($r(V^{3+})$) = $= 0.64 \text{ Å}, r(\text{Sc}^{3+}) = 0.74 \text{ Å в октаэдрическом окру-}$ жении [24]) позволяет сохранить структурный тип NASICON при существенном увеличении объема элементарной ячейки. Это делает возможным последовательное окисление ванадия $V^{3+} \rightarrow$ $ightarrow V^{4+}
ightarrow V^{5+}$ при деинтеркаляции $2Na^+$ при потенциалах ~ 3.5 и 4 ~ 4.5 В отн. Na/Na⁺. Глубокий переразряд $Na_3VSc(PO_4)_3$ (до 1.0 В отн. Na/Na^+), сопровождающийся внедрением третьего Na+ при ~1.5 В, позволяет добиться обратимого трехэлектронного процесса $V^{2+}/V^{3+}/V^{4+}/V^{5+}$, которому соответствует емкость 170 мA ч г $^{-1}$.

Для более полного понимания влияния замещения ванадия электрохимически неактивным катионом на электрохимические свойства материалов со структурой NASICON в настоящей работе мы провели синтез и исследование твердых растворов Na_3V_2 $_xSc_x(PO_4)_3$ с различной степенью замещения x=0.5, 1, 1.2, 1.5.

ЭКСПЕРИМЕНТАЛЬНАЯ ЧАСТЬ

В качестве исходных реагентов для синтеза образцов использовали Na_2CO_3 ($\geq 99.95\%$, "Sigma-Aldrich"), $NH_4H_2PO_4$ ($\geq 98\%$, "Sigma-Aldrich"), NaH_2PO_4 ($\geq 99\%$, "Sigma-Aldrich"), V_2O_5 ($\geq 98\%$, "Sigma-Aldrich"), $Sc(NO_3)_3\cdot 4H_2O$ (99.5%, "Peaxим") и $C_6H_8O_7$ (99.5%, "PanReac Applichem").

Синтез образцов состава $Na_3V_{2-x}Sc_x(PO_4)_3$ при $x=0.5,\ 1,\ 1.2,\ 1.5$ проводили золь—гель-методом с дальнейшим двухстадийным отжигом в токе аргона с промежуточным помолом в планетарной мельнице. Использованная методика синтеза, подробно описанная в работе [23], позволяет получать материалы $Na_3V_{2-x}Sc_x(PO_4)_3/C$, состоящие из частиц размером 300-700 нм с нанесен-

ным углеродным покрытием (содержание углерода составляет ~ 1 мас. %).

Морфологию, микроструктуру и катионный состав полученных образцов исследовали методом сканирующей электронной микроскопии (СЭМ) с использованием растрового электронного микроскопа JEOL JSM-6490LV (LaB₆-катод, ускоряющее напряжение 30 кВ), оборудованного приставкой для локального рентгеноспектрального микроанализа (ЛРСА) INCA Energy+ (Oxford, Si-(Li)-детектор).

Порошковые рентгеновские дифракционные данные для поликристаллических образцов и электродов получали при комнатной температуре с использованием дифрактометра Panalytical Aeris Research (излучение CuK_{α} , геометрия Брегга—Брентано, PiXCel детектор, интервал съемки $3.000^{\circ}-120.000^{\circ}$ 2θ, шаг 0.005°) и камеры Гинье высокого разрешения (Image Plate Huber G670, излучение CuK_{α_1} , Ge (111) монохроматор, угловой диапазон $3.000^{\circ}-100.300^{\circ}$ 2θ°, шаг 0.005). Для обработки данных порошковой рентгеновской дифракции применяли комплекс программ STOE WinXPow [25] и JANA2006 [26], базы данных PDF-2+ [27] и PDF-4+ [28].

Электрохимические испытания проводили в двухэлектродной электрохимической ячейке. Для приготовления электродных материалов в агатовой ступке смешивали 80 мас. % активного вещества, 10 мас. % поливинилиденфторида (PVdF), растворенного в n-метил пирролидоне (NMP), и 10 мас. % сажи марки "Timcal Super C". Полученную пасту наносили равномерным слоем на алюминиевую фольгу с помощью аппликатора Doctor Blade. Фольгу с нанесенным материалом высушивали на воздухе при температуре 70°C в течение 30 мин для испарения растворителя. Затем из фольги вырезали электроды в виде дисков диаметром 16 мм, диски взвешивали и высушивали в вакууме при температуре 110°C в течение 12 ч и помещали в перчаточный бокс марки MBraun (Германия) с контролируемой атмосферой аргона (содержание воды и кислорода ≤10 ppm). В качестве электролита использовали 1 М раствор NaPF₆ в пропиленкарбонате с добавлением 3 мас. % фторэтиленкарбоната. Содержание воды в пропиленкарбонате (≤5.0 ррт) контролировали методом Фишера с использованием автоматического титратора Titrator Compact C10SX Mettler Toledo (Швейцария). Противоэлектродом служил металлический натрий. Сборку двухэлектродных ячеек также осуществляли в перчаточном боксе. Анод отделяли от рабочего электрода сепаратором из боросиликатного стекловолокна (Schleicher & Schuell GF 50), пропитанным раствором электролита. Исследование полученных материалов методом гальваностатического циклирования с пределом по потенциалу проводили

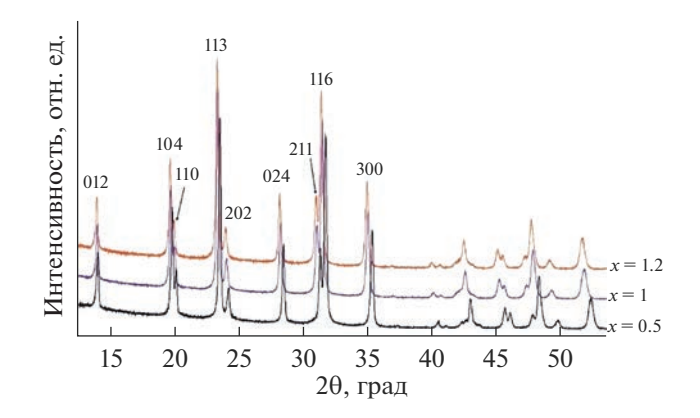


Рис. 1. Участки рентгенограмм образцов номинального состава $Na_3V_{2-x}Sc_x(PO_4)_3/C$, x=0.5, 1, 1.2. Рефлексы проиндицированы в ромбоэдрической сингонии в гексагональной установке с параметрами ячейки, указанными в табл. 1.

с использованием зарядно-разрядных стендов Elins P-20X8 (программное обеспечение ES8) и потенциостата Biologic VMP-300 (программное обеспечение EC-Lab 10.44) при плотности тока C/10.

РЕЗУЛЬТАТЫ И ОБСУЖДЕНИЕ

На рис. 1 показаны рентгенограммы полученных образцов номинального состава $Na_3V_{2-x}Sc_x(PO_4)_3/C$, где x = 0.5, 1, 1.2. Все рефлексы на рентгенограммах проиндицированы в ромбоэдрической сингонии в гексагональной установке (пр. гр. Rc, z = 6) с параметрами ячейки, соответствующими структурному типу NASICON (табл. 1). Значения катионных соотношений V/Sc и Na/(V + Sc), определенные методом ЛРСА, подтверждают номинальный состав образцов. По мере увеличения степени замещения х наблюдается закономерное увеличение параметров и объема элементарной ячейки с сохранением структурного типа NASICON. Максимальная достигнутая степень замещения ванадия соответствует 60% (x = 1.2). Синтез образцов $Na_3V_{2-x}Sc_x(PO_4)_3$ с более высокой степенью замещения приводит к получению многофазных смесей.

Результаты рентгеноструктурного анализа соединений $Na_3V_{1.5}Sc_{0.5}(PO_4)_3$ и $Na_3V_{0.8}Sc_{1.2}(PO_4)_3$ методом Ритвельда по порошковым дифракционным данным (Дополнительные материалы, табл. Д1-3, рис. Д1-2) свидетельствуют о том, что замещение V/Sc сопровождается частичным разупорядочением позиции Na2 (18e (x, 0, 1/4)), что приводит к формированию частично заселенной позиции Na3 (36f (x, y, z)), расположенной на расстоянии около 1 Å от Na2. Суммарная заселенность Na3 и Na2 соответствует заселенности Na2 в структуре $Na_3V_2(PO_4)_3$. Такая структурная осо-

X	Состав	a, Å	c, Å	V, Å ³
0 [29]	Na ₃ V ₂ (PO ₄) ₃	8.738	21.815	1442.48
0.5	$Na_3V_{1.5}Sc_{0.5}(PO_4)_3$	8.7701(3)	21.963(1)	1462.9(9)
1 [23]	Na ₃ VSc(PO ₄) ₃	8.8238(6)	22.068(1)	1488.0(2)
1.2	$Na_3V_{0.8}Sc_{1.2}(PO_4)_3$	8.8455(2)	22.149(1)	1500.9(9)

Таблица 1. Параметры и объем элементарной ячейки соединений $Na_3V_{2-x}Sc_x(PO_4)_3$, x=0; 0.5; 1 и 1.2

бенность была обнаружена ранее для соединения с 50%-ной степенью замещения $Na_3VSc(PO_4)_3$ [23] и может быть связана с упорядочением ванадия и скандия (связанным с существенным различием в ионных радиусах), которое не удается определить доступными в лаборатории методами порошковой рентгеновской дифракции.

По данным СЭМ (рис. Д3), полученные материалы $Na_3V_{2-x}Sc_x(PO_4)_3/C$ состоят из агломератов, образованных частицами неправильной формы размером 300-700 нм.

Результаты исследования электрохимических свойств $Na_3V_{2-x}Sc_x(PO_4)_3/C$ методом гальваностатического циклирования с пределами по потенциалу (рис. 2) отчасти коррелируют с полученными ранее данными для материала $Na_3VSc(PO_4)_3/C$ [23].

Как можно видеть из рис. 2а, 2г, 2ж, на всех кривых гальваностатического заряда-разряда в пределах потенциалов 2.5—3.8 В отн. Na/Na⁺ присутствует плато при ≈3.5 В отн. Na/Na⁺, соответствующее редокс-переходу V^{3+}/V^{4+} [10]. Это плато, в отличие от незамещенного $Na_3V_2(PO_4)_3$, во всех случаях имеет наклонный вид, что говорит о преимущественно твердорастворном механизме (де)интеркаляции Na⁺. Протяженность плато равномерно увеличивается с ростом доли V в твердых растворах $Na_3V_{2-x}Sc_x(PO_4)_3$: от \approx 40 мА ч г⁻¹ для V: Sc = 0.8: 1.2 до ≈ 80 мА ч г⁻¹ для V: Sc = 1.5: 0.5. Стоит отметить, что (де)интеркаляция одного иона натрия на формульную единицу в этих материалах соответствует ≈ 60 мАч г⁻¹; таким образом, электрохимические данные хорошо согласуются с результатами исследования методами ex-situ порошковой рентгеновской дифракции и ЛРСА (табл. 2). При заряде до потенциала 3.8 В отн. Na/Na⁺происходит деинтеркаляция 1Na⁺ на ф.е., что сопровождается закономерным сжатием элементарной ячейки, как в (ab)-плоскости, так и вдоль направления c (табл. 2, рис. 3). При потенциале 3.8 В ванадий во всех соединениях находится преимущественно в с.о. +4.

При циклировании электродов в более широком диапазоне потенциалов (2.5–4.5 B отн. Na/Na^+) (рис. 26, 2д, 2з) во всех случаях на пер-

вом заряде наблюдается появление второго плато, начинающегося при \approx 4 В отн. Na/Na $^+$; зарядная емкость при этом закономерно увеличивается. Несмотря на сохранение структурного типа NASICON, структуры соединений Na₃V_{2-x}Sc_x(PO₄)₃ претерпевают сильное искажение за счет сжатия в (ab) — плоскости и резкого растяжения вдоль направления c (табл. 2, рис. 3). Принципиальная разница между материалами Na₃V_{2-x}Sc_x(PO₄)₃/C состоит в протекании обратного процесса (внедрения натрия): для Na₃V_{1.5}Sc_{0.5}(PO₄)₃ плато сохраняется и на разрядной кривой — в отличие от составов с меньшим содержанием ванадия.

Ранее было показано, что асимметрия кривых заряда и разряда при циклировании $Na_3VM(PO_4)_3$ (M = Sc, Cr) в широком интервале потенциалов возникает из-за изменения локального окружения катионов V^{5+} (в качестве возможных причин указывались миграция катионов V⁵⁺ в позиции Na⁺ и/или искажение полиэдра за счет образования "ванадильной" связи V=O) [30, 31]. Отсутствие асимметрии в случае $Na_3V_{1.5}Sc_{0.5}(PO_4)_3/C$ хорошо коррелирует с величиной емкости, которую демонстрирует этот материал при заряде до 4.5 В отн. Na/Na⁺. Полное окисление ванадия до V^{5+} , наблюдаемое при заряде материалов $Na_3VSc(PO_4)_3/C$ и $Na_3V_{0.8}Sc_{1.2}(PO_4)_3/C$, сопровождается гораздо более заметным ростом параметра c (табл. 2). Так, c-параметр заряженной фазы $NaV^{+5}Sc(PO_4)_3$ превосходит *с*-параметр исходной фазы более чем на 2.5%. В целом, как можно видеть из табл. 2, изменение соотношения параметров c/a отражает увеличение степени искажения элементарной ячейки по мере увеличения формальной степени окисления ванадия. При достижении c/a > 2.6 высоковольтное плато становится необратимым.

В качестве еще одного критерия, отражающего степень искажения ромбоэдрической структуры, можно рассмотреть величину угла α соответствующей примитивной ячейки (табл. 2). В исходных структурах, равно как и во всех частично деинтеркалированных (при заряде до 3.8 В отн. Na/Na⁺), значение угла α лежит в пределах $58^{\circ}-59^{\circ}$ (в "идеальной" неискаженной структуре угол α соответствует углу в F-центрированной кубической

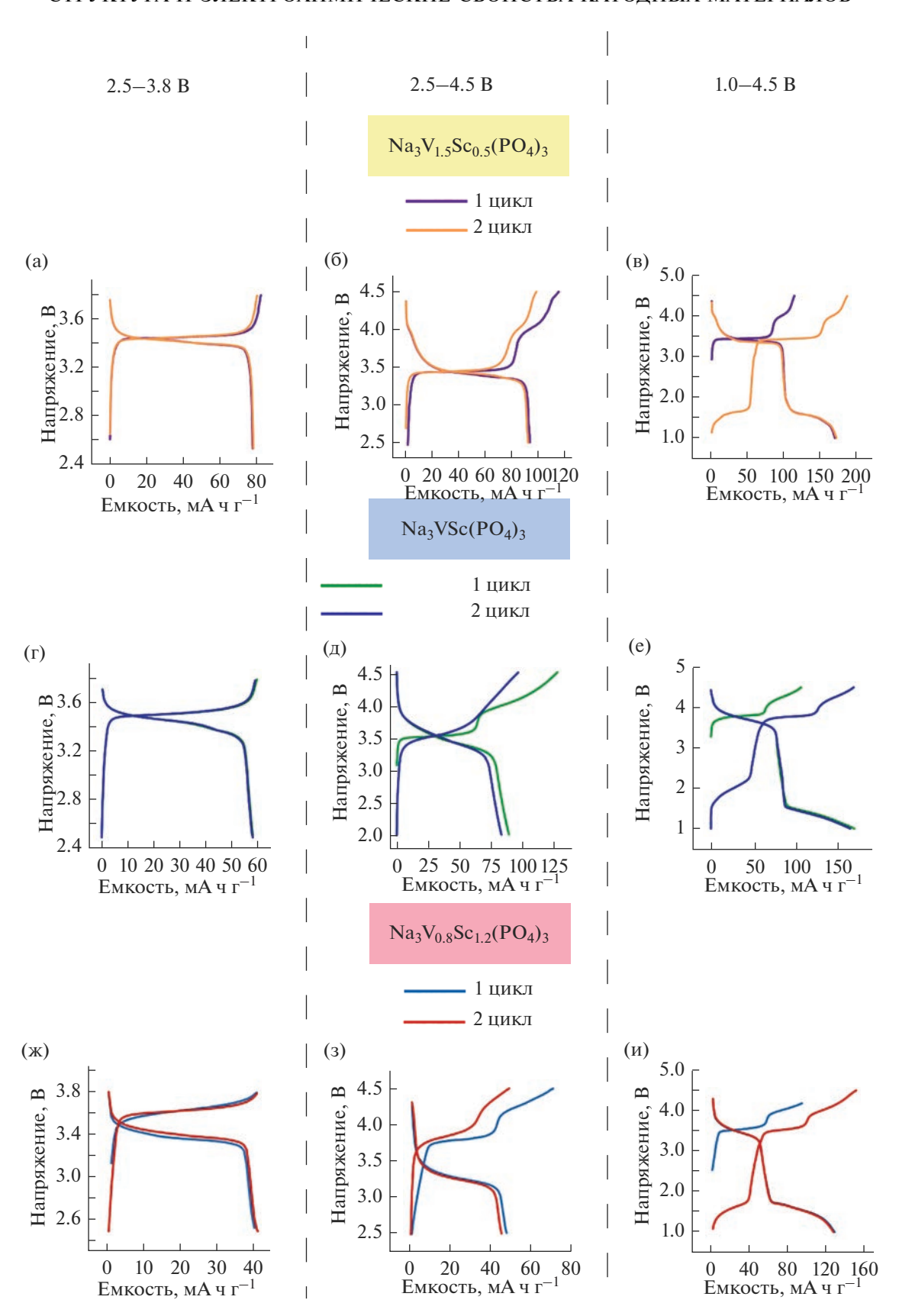


Рис. 2. Данные гальваностатического циклирования (первые два цикла) материалов $Na_3V_{2-x}Sc_x(PO_4)_3/C$, где x=0.5 (а–в), x=1 (г–е), x=1.2 (ж–и) со следующими пределами по потенциалу: 2.5–3.8 отн. Na/Na^+ (слева); 2.5–4.5 отн. Na/Na^+ (в центре); 1.0–4.5 В отн. Na/Na^+ (справа).

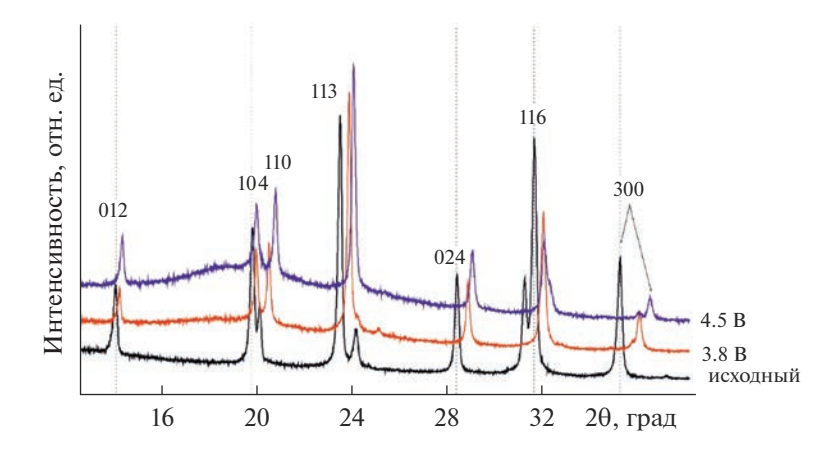


Рис. 3. Участки *ex-situ* рентгенограмм исходного электрода $Na_3V_{1.5}Sc_{0.5}(PO_4)_3$ и электродов, заряженных до 3.8 и 4.5 В отн. Na/Na^+ .

ячейке, т.е. 60°). При заряде $Na_3VSc(PO_4)_3$ и $Na_3V_{0.8}Sc_{1.2}(PO_4)_3$ до 4.5 В отн. Na/Na^+ и окислении всего ванадия до с.о. +5, угол α становится меньше 57° (табл. 2), что сопровождается дестабилизацией структуры и неполной обратимостью редокс-переходов $V^{3+}/V^{4+}/V^{5+}$ при циклировании в диапазоне потенциалов 2.5—4.5 В отн. Na/Na^+ .

На рис. 2в, 2е, 2и показаны гальваностатические кривые, полученные для материалов

 $Na_3V_{2-x}Sc_x(PO_4)_3/C$ в диапазоне потенциалов 1.0—4.5 В отн. Na/Na^+ . На кривой разряда в области 1.5 В отн. Na/Na^+ для всех исследованных материалов присутствует плато, соответствующее внедрению дополнительного иона Na^+ и восстановлению ванадия до с.о. +2. Для всех материалов после полного разряда до 1 В отн. Na/Na^+ восстанавливается высоковольтное плато на \approx 4 В, что хорошо согласуется с ранее опубликованными результатами исследований

Таблица 2. Параметры и объем ячейки, отношение Na/(V + Sc) по данным ЛРСА, соотношение c/a, а также угол α для соединений $Na_{3-v}V_{2-x}Sc_x(PO_4)_3$ ($0 \le y \le 2$), полученных при различных условиях заряда—разряда

Условия заряда*	a, Å	$c, ext{Å}$	V, Å ³	Na/(V + Sc)	c/a**	α, град***			
$Na_{3}V_{1.5}Sc_{0.5}(PO_{4})_{3}$									
Исходный электрод	8.7701(3)	21.963(1)	1462.9(9)	1.3(2)	2.504	59.0			
Заряжен при 3.8 В	8.5484(4)	21.763(1)	1377.2(5)	0.8(1)	2.546	58.3			
Заряжен при 4.5 В	8.4610(4)	21.973(1)	1362.2(9)	0.5(2)	2.597	57.4			
$Na_3VSc(PO_4)_3$ [23]									
Исходный электрод	8.8238(6)	22.068(2)	1488.0(2)	1.47(9)	2.501	59.1			
Заряжен при 3.8 В	8.651(3)	21.914(8)	1420.2(9)	0.92(6)	2.533	58.5			
Заряжен при 4.5 В	8.526(2)	22.667(6)	1427.0(9)	0.57(7)	2.695	56.4			
$\mathrm{Na_3V_{0.8}Sc_{1.2}(PO_4)_3}$									
Исходный электрод	8.8455(2)	22.149(1)	1500.9(9)	1.2(3)	2.504	59.0			
Заряжен при 3.8 В	8.7526(4)	22.052(1)	1463.0(9)	1.1(3)	2.519	58.8			
Заряжен при 4.5 В	8.5722(6)	22.525(3)	1433.4(9)	0.6(3)	2.628	56.9			

^{*} Потенциал указан отн. Na/Na⁺.

^{**} Величина стандартного отклонения для отношения c/a, рассчитанная по формуле $\Delta(c/a) = \Delta c/c + \Delta a/a$, не превышает 0.0001.

^{***} Угол α рассчитан по формуле: $\cos \alpha = \frac{2c^2 - 3a^2}{2c^2 + 6a^2}$.

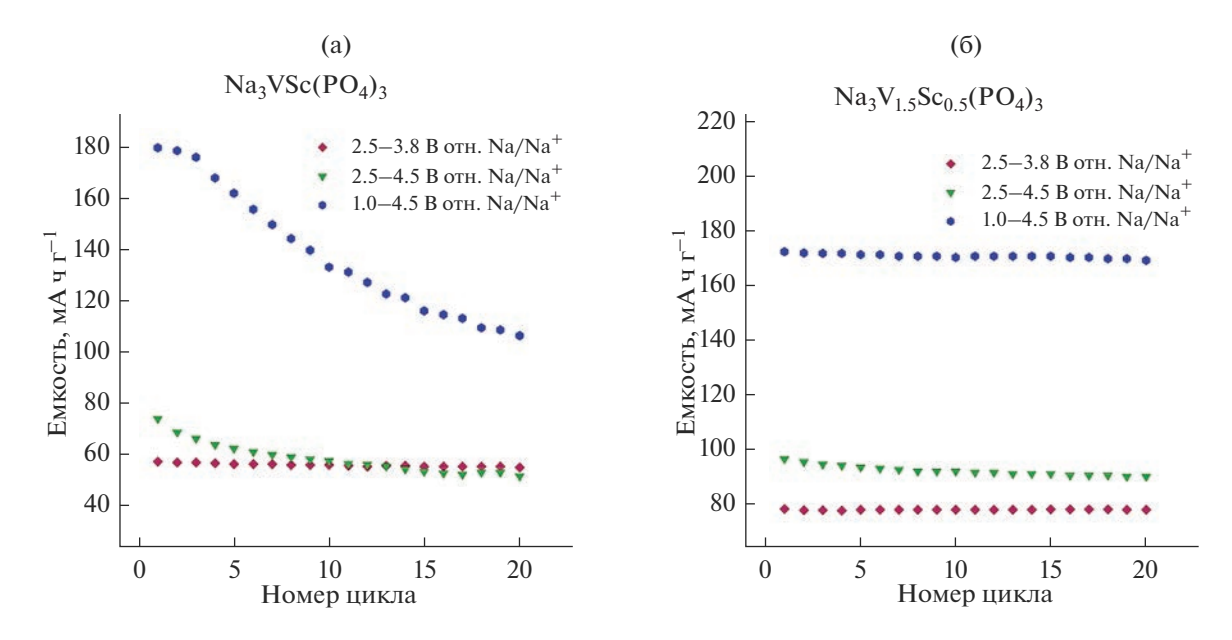


Рис. 4. Зависимость удельной разрядной емкости от количества циклов при разных диапазонах циклирования для $Na_3VSc(PO_4)_3/C$ (а) и $Na_3V_1 {}_5Sc_0 {}_5(PO_4)_3/C$ (б).

 $Na_3VM(PO_4)_3/C$ (M=Sc,Cr) [17, 23]. Однако циклируемость материалов Na_3V_2 _ $_xSc_x(PO_4)_3/C$ в широком интервале потенциалов сильно зависит от степени замещения ванадия (рис. 4).

На рис. 4а, 4б показаны зависимости удельной разрядной емкости от количества циклов при разных диапазонах циклирования $Na_3VSc(PO_4)_3/C$ и $Na_3V_{1.5}Sc_{0.5}(PO_4)_3/C$. Несмотря на близкую начальную емкость при циклировании в широком диапазоне потенциалов (около 180 мА ч Γ^{-1}), циклическая стабильность $Na_3V_{1.5}Sc_{0.5}(PO_4)_3/C$ гораздо выше. Емкость для $Na_3V_{1.5}Sc_{0.5}(PO_4)_3/C$ за 20 циклов падает от 172 до 169 мА ч Γ^{-1} , тогда как для $Na_3VSc(PO_4)_3/C$ — от 178 до 107 мA ч г $^{-1}$.Очевидно, что это связано с уже упомянутым для $Na_3V_{1.5}Sc_{0.5}(PO_4)_3$ неполным окислением ванадия до V^{5+} и с гораздо менее выраженным искажением структуры при заряде.

Результаты, полученные в данной работе, в совокупности с опубликованными ранее, позволяют сформулировать критерии стабильности сложных фосфатов ванадия со структурой NASI-CON в широком интервале напряжений. Стабильные электрохимические характеристики демонстрируют материалы, в которых после заряда до максимального предела потенциала (как правило, это 4.5 В отн. Na/Na⁺) остается по меньшей мере 1 катион Na⁺ на ф.е. (занимающий, очевидно, позицию Na1), а формальная с. о. ванадия в заряженном состоянии не превышает +4.5.

ЗАКЛЮЧЕНИЕ

Сложные фосфаты ванадия со структурой типа NASICON рассматриваются как одни из наиболее перспективных катодных материалов для НИА. Дополнительное преимущество таких материалов заключается в возможности реализации высоковольтного редокс-перехода V^{4+}/V^{5+} , что может приводить к существенному улучшению рабочих характеристик. Результаты проведенного в данной работе исследования материалов $Na_3V_{2-x}Sc_x(PO_4)_3/C$ (0 < x < 2) со структурой типа NASICON в широком диапазоне потенциалов свидетельствуют, что стабильные электрохимические характеристики достигаются только в том случае, когда в процессе циклирования формальная степень окисления ванадия не превышает +4.5. Более глубокое окисление катионов ванадия сопровождается сильным искажением полианионного каркаса, которое можно численно характеризовать с помощью соотношения параметров элементарной ячейки c/a (пороговое значение ≈2.6) или величины угла α соответствующей примитивной ячейки (пороговое значение \approx 57°). Это искажение препятствует обратимому протеканию редокс-процессов в диапазоне 2.5-4.5 В отн. Na/Na⁺, равно как и приводит к быстрой деградации емкости при циклировании в диапазоне 1.0-4.5 В отн. Na/Na⁺.

БЛАГОДАРНОСТИ

Работа выполнена при поддержке Российского научного фонда (грант № 17-73-30006- Π от 23 марта

2021). Работа выполнена в рамках Программы развития Междисциплинарной научно-образовательной школы МГУ им. М.В. Ломоносова "Будущее планеты и глобальные экологические изменения".

КОНФЛИКТ ИНТЕРЕСОВ

Авторы заявляют, что у них нет конфликта интересов.

СПИСОК ЛИТЕРАТУРЫ

- 1. Tsiropoulos, I., Tarvydas, D., and Lebedeva, N., EUR 29440 EN, Li-ion batteries for mobility and stationary storage applications Scenarios for costs and market growth, Publications Office of the European Union, Luxembourg, 2018, p. 67.
- 2. Vaalma, C., Buchholz, D., Weil, M., and Passerini, S., A cost and resource analysis of sodium-ion batteries, *Nat. Rev. Mater.*, 2018, vol. 3, p. 18013.
- Rajagopalan, R., Zhang, Z., Tang Y., Jia, C., Xiaobo, Ji, and Wang, H., Understanding crystal structures, ion diffusion mechanisms and sodium storage behaviors of NASICON materials, *Energy Storage Materials*, 2021, vol. 34, p. 171.
- 4. Hong, H.Y.-P., Crystal structures and crystal chemistry in the system Na_{1 + x}Zr₂Si_xP_{3 x}O₁₂, *Mater. Res. Bull.*, 1976, vol. 11, p. 173.
- 5. Goodenough, J.B., Hong H.Y.P., and Kafalas, J., Fast Na⁺-ion transport in skeleton structures, *Mater. Res. Bull.*, 1976, vol. 11, p. 203.
- Rajagopalan, R., Chen, B., Zhang, Z., Wu, X.-L., Du, Y. Huang, B., Li, Y., Zong, J., Wang, G.-H., Nam, M., Sindoro, S.X., Dou, H.K., Liu, H., Zhang, Improved Reversibility of Fe³⁺/Fe⁴⁺Redox Couple in Sodium Super Ion Conductor Type Na₃Fe₂(PO₄)₃ for Sodium-Ion Batteries, *Adv. Mater.*, 2017, vol. 29, p. 1605694.
- 7. Samigullin, R., Drozhzhin, O., and Antipov, E., Comparative Study of the Thermal Stability of Electrode Materials for Li-Ion and Na-Ion Batteries, *ACS Appl. Energy Mater.*, 2022, vol. 5, p. 14.
- Wang, J., Wang, Y., Seo, D., Shi, T., Chen, S., Tian, Y., Kim, H., and Ceder, G., A High-Energy NASICON-Type Cathode Material for Na-Ion Batteries, *Adv. Energy Mater.*, 2020, vol. 10, p. 1903968.
- 9. Zhang, X., Rui, X., Chen, D., Tan, H., Yang, D., Huang, S., and Yu Y., Na₃V₂(PO₄)₃: an advanced cathode for sodium-ion batteries, *Nanoscale*, 2019, vol. 11, p. 2556.
- Saravanan, K., Mason, C., Rudola, A., Wong, K., and Balaya, P., The First Report on Excellent Cycling Stability and Superior Rate Capability of Na₃V₂(PO₄)₃for Sodium Ion Batteries, *Adv. Energy Mater.*, 2013, vol. 3, p. 444.
- 11. Jian, Z., Sun, Y., and Ji, X., A new low-voltage plateau of Na₃V₂(PO₄)₃as an anode for Na-ion batteries, *Chem. Commun.*, 2015, vol. 51, p. 6381.
- 12. Jian, Z., Han, W., Lu, X., Yang, H., Hu, Y.-S., Zhou, J., Zhou, Z., Li, J., Chen, W., Chen, D., and Chen, L.,

- Superior Electrochemical Performance and Storage Mechanism of $Na_3V_2(PO_4)_3$ Cathode for Room-Temperature Sodium-Ion Batteries, *Energy Mater.*, 2013, vol. 3, p. 156.
- Zhou, W., Xue, L., Lu, X., Gao, H., Li, Y., Xin, S., Fu, G., Cui, Z., Zhu, Y., and Goodenough, J., Na_xMV(PO₄)₃ (M = Mn, Fe, Ni) Structure and Properties for Sodium Extraction, *J. Amer. Chem. Soc.*, 2016, vol. 16, p. 7836.
- Zakharkin, M., Drozhzhin, O., Tereshchenko, I., Chernyshov, D., Abakumov, A., Antipov, E., and Stevenson, K., Enhancing Na⁺ Extraction Limit through High Voltage Activation of the NASICON-Type Na₄MnV(PO₄)₃ Cathode, ACS Appl. Energy Mater., 2018, vol. 1, p. 5842.
- 15. Zakharkin, M., Drozhzhin, O., Ryazantsev, S., Chernyshov, D., Kirsanova, M., Mikheev, I., Pazhetnov, E., Antipov, E., and Stevenson, K., Electrochemical properties and evolution of the phase transformation behavior in the NASICON-type $Na_{3+x}Mn_xV_{2-x}(PO_4)_3(0 \le x \le 1)$ cathodes for Na-ion batteries, *J. Power Sources.*, 2020, vol. 470, p. 228231.
- 16. Aragón, M.J., Lavela, P., Alcántara, R., and Tirado, J.L., Effect of aluminum doping on carbon loaded Na₃V₂(PO₄)₃as cathode material for sodium-ion batteries, *Electrochim. Acta*, 2015, vol. 180, p. 824.
- 17. Wang, Q., Zhao, Y., Gao, J., Geng, H., Li, J., and Jin, H., Triggering the Reversible Reaction of V³⁺/V⁴⁺/V⁵⁺in Na₃V₂(PO₄)₃by Cr³⁺ Substitution, *ACS Appl. Mater. Interfaces*, 2020, vol. 12, p. 50315.
- 18. Liu, R., Xu, G., Li, Q., Zheng, S., Zheng, G., Gong, Z., Li, Y., Kruskop, E., Fu, R., Chen, Z., Amine, K., and Yang, Y., Exploring Highly Reversible 1.5-Electron Reactions (V³⁺/V⁴⁺/V⁵⁺) in Na₃VCr(PO₄)₃ Cathode for Sodium-Ion Batteries, *ACS Appl. Mater. Interfaces*, 2017, vol. 9, p. 43639.
- 19. Lalère, F., Seznec, V., Courty, M., David, R., Chotard, J.N., and Masquelier, C., Improving the energy density of Na₃V₂(PO₄)₃-based positive electrodes through V/Al substitution, *J. Mater. Chem. A*, 2015, vol. 3, p. 16198.
- 20. Inoishi, A., Yoshioka, Y., Zhao, L., Kitajou, A., and Okada, S., Improvement in the Energy Density of Na₃V₂(PO₄)₃ by Mg Substitution, *ChemElectroChem*, 2017, vol. 4, p. 2755.
- Singh, B., Wang, Z., Park, S., Sai Gautam, G., Chotard, J.-N., Croguennec, L., Carlier, D., Cheetham, A.K., Masquelier, C., and Canepa P., A Chemical Map of NASICON Electrode Materials for Sodium-ion Batteries, *J. Mater. Chem. A*, 2021, vol. 9, p. 281.
- Boivin, E., Chotard, J.-N., Masquelier, C., and Croguennec, L., Towards Reversible High-Voltage Multi-Electron Reactions in Alkali-Ion Batteries Using Vanadium Phosphate Positive Electrode Materials, Molecules, 2021, vol. 26, p. 1428.
- Perfilyeva, T., Drozhzhin, O., Alekseeva, A., Zakharkin, M., Mironov, A., Mikheev, I., Bobyleva, Z., Marenko, A., Marikutsa, A., Abakumov, A., and Antipov, E., Complete Three-Electron Vanadium Redox in NASICON-Type Na₃VSc(PO₄)₃ Electrode Material for Na-Ion

- Batteries, *J. Electrochem. Soc.*, 2021, vol. 168, p. 110550.
- 24. Shannon, R., Revised Effective Ionic Radii and Systematic Studies of Interatomic Distances in Halides and Chalcogenides, *ActaCryst.*, 1976, vol. A32, p. 751.
- 25. STOE Win XPOW, Version 1.2 (27-Jul-2001), 2000 STOE, Cie GmbH, Hilpert str. 10, D64295 Darmstadt.
- 26. Petrícek, V., Dušek, M., and Palatinus, L., Crystallographic computing system JANA2006: General features, *Zeitschrift fur Krist.*, 2014, vol. 229, p. 345.
- 27. ICDD PDF-2, *International Center for Diffraction Data*, Newton Square, USA, 1998.
- 28. ICDD PDF-4+, International Center for Diffraction Data, Newton Square, USA, 2020.

- 29. Jian, Z., Zhao, L., Hu, Y.-S., Li, H., Chen, W., and Chen, L., Carbon coated Na₃V₂(PO₄)₃ as novel electrode material for sodium ion batteries, *Electrochem. Commun.*, 2012, vol. 14, p. 86.
- 30. Liu, R., Zheng, S., Yuan, Y., Yu, P., Liang, Z., and Zhao, W., Counter-Intuitive Structural Instability Aroused by Transition Metal Migration in Polyanionic Sodium Ion Host, *Adv. Energy Mater.*, 2021, vol. 11, p. 2003256.
- 31. Kim, S., Zhang, Z., Wang, S., Yang, L., Cairns, E.J., Penner-Hahn, J.E., and Deb, A., Electrochemical and Structural Investigation of the Mechanism of Irreversibility in Li₃V₂(PO₄)₃ Cathodes, *J. Phys. Chem. C*, 2016, vol. 120, p. 7005.